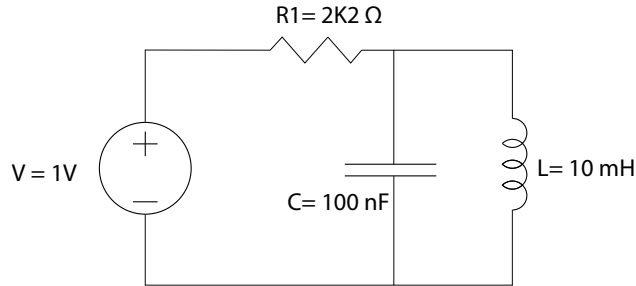


Informes de CIREL

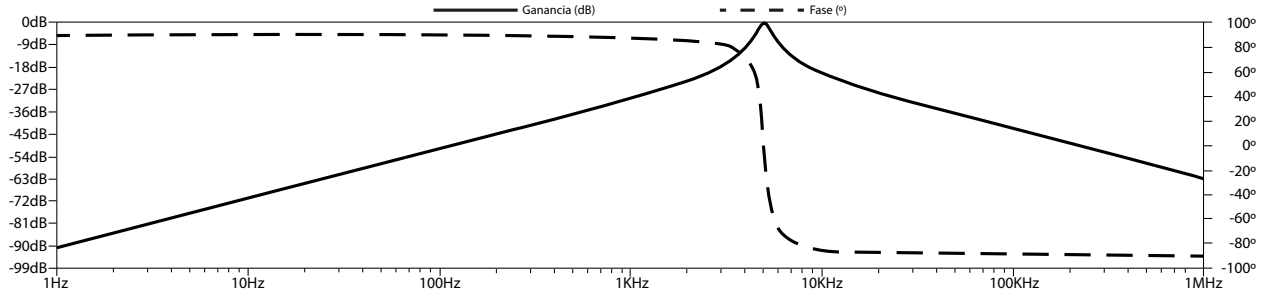
Rafael Sánchez Sánchez - Alejandro Santorum Varela
Universidad Autónoma de Madrid
Preinforme de la sesión 5

1 Simulación y cálculos teóricos.

1.1 Apartado A.



La gráfica de simulación es la siguiente:



Tomando V_{out} como la diferencia de potencial en los terminales de la inductancia, procedemos al cálculo de A_v .

$$\begin{aligned} A_v = \frac{V_{out}}{V_{in}} &= \frac{Z_C || Z_L}{R + Z_C || Z_L} = \frac{\frac{Z_C Z_L}{Z_C + Z_L}}{Z_C Z_L + R(Z_C + Z_L)} = \frac{\frac{L}{C}}{\frac{L}{C} + j\omega LR + \frac{R}{j\omega C}} = \frac{j\omega L}{j\omega L - \omega^2 LCR + R} = \\ &= \frac{j\omega \frac{L}{R}}{1 - \omega^2 LC + j\omega \frac{L}{R}} \end{aligned}$$

Por tanto, el módulo de A_v es.

$$|A_v| = \frac{\omega \frac{L}{R}}{\sqrt{(1 - \omega^2 LC)^2 + (\omega \frac{L}{R})^2}}$$

El módulo de A_v en decibelios:

$$|A_v|_{dB} = 20 \log_{10} \left(\omega \frac{L}{R} \right) - 20 \log_{10} \left(\sqrt{(1 - \omega^2 LC)^2 + \left(\omega \frac{L}{R} \right)^2} \right)$$

La fase de A_v :

$$\phi_{A_v} = \frac{\pi}{2} - \arctan \left(\frac{\omega \frac{L}{R}}{1 - \omega^2 LC} \right) = \frac{\pi}{2} - \arctan \left(\frac{\omega L}{R - \omega^2 LCR} \right)$$

Cuando $\omega \rightarrow 0$:

$$\phi \rightarrow \frac{\pi}{2} - \arctan \left(\frac{0}{R} \right) = \frac{\pi}{2} = 90^\circ$$

Cuando $\omega \rightarrow \infty$:

$$\phi \rightarrow \frac{\pi}{2} - \arctan \left(\frac{-\omega}{\omega^2 CR} \right) = \frac{\pi}{2} - \pi = -90^\circ$$

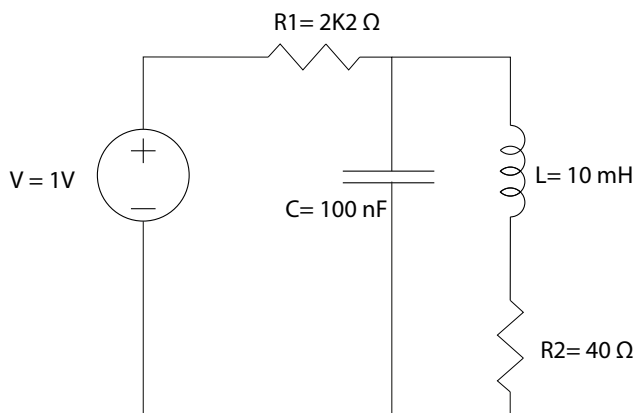
Como vemos los valores de la fase en el 0 y el valor asintótico de la misma en el infinito coincide con la gráfica de simulación.

Cálculos para su comprobación con la gráfica:

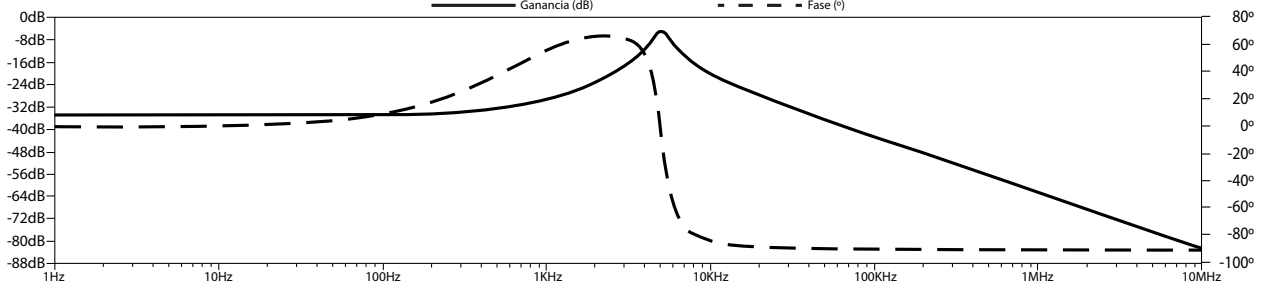
<i>Frecuencia(Hz)</i>	<i>Ganancia(dB)</i>	<i>Fase(°)</i>
10	-70,9	89,98
10^2	-50,9	89,40
10^3	-34,54	88,30
10^4	-20,32	-84,47
10^5	-42,8	-89,58

Se corresponde exactamente con la gráfica.

1.2 Apartado B.



La gráfica de simulación es la siguiente:



Tomando V_{out} como la diferencia de potencial en los terminales de la inductancia, procedemos al cálculo de A_v .

$$A_v = \frac{V_{out}}{V_{in}} = \frac{Z_C || (Z_L + R_2)}{[(R_2 + Z_L) || Z_C] + R_1} = \dots = \frac{1 + j\omega \frac{L}{R_2}}{1 + \frac{R_1}{R_2} - \omega^2 LC \frac{R_1}{R_2} + j\omega \left(CR_1 + \frac{C^2}{LR_2} \right)}$$

Por tanto, el módulo de A_v es.

$$|A_v| = \frac{\sqrt{1 + \left(\omega \frac{L}{R_2}\right)^2}}{\sqrt{\left(1 + \frac{R_1}{R_2} - \omega^2 LC \frac{R_1}{R_2}\right)^2 + \left(\omega CR_1 + \omega \frac{C^2}{LR_2}\right)^2}}$$

El módulo de A_v en decibelios:

$$|A_v|_{dB} = 20 \log_{10} \left(\sqrt{1 + \left(\omega \frac{L}{R_2}\right)^2} \right) - 20 \log_{10} \left(\sqrt{\left(1 + \frac{R_1}{R_2} - \omega^2 LC \frac{R_1}{R_2}\right)^2 + \left(\omega CR_1 + \omega \frac{C^2}{LR_2}\right)^2} \right)$$

Se puede observar que cuando $\omega \rightarrow 0$: $|A_v|_{dB} \rightarrow -20 \log_{10} \left(1 + \frac{R_1}{R_2}\right) \simeq -35dB$ tal y cómo dice la documentación de la práctica.

Esto es lo que origina el *plateau* en la gráfica y se debe a que a frecuencias bajas el condensador actúa como un circuito abierto y la inductancia como un cortocircuito, por tanto quedaría un circuito con una fuente de tensión conectada a dos resistencias en serie.

La fase de A_v :

$$\phi_{A_v} = \arctan \left(\omega \frac{L}{R_2} \right) - \arctan \left(\frac{\omega \frac{C^2}{LR_2} + \omega CR_1}{1 + \frac{R_1}{R_2} - \omega^2 LC \frac{R_1}{R_2}} \right)$$

Cuando $\omega \rightarrow 0$:

$$\phi \rightarrow \arctan(0) = 0^\circ$$

Cuando $\omega \rightarrow \infty$:

$$\phi \rightarrow \arctan(\infty) - \arctan(0) = \frac{\pi}{2} - \pi = -90^\circ$$

Como vemos los valores de la fase en el 0 y el valor asintótico de la misma en el infinito coincide con la gráfica de simulación.

Cálculos para su comprobación con la gráfica:

<i>Frecuencia(Hz)</i>	<i>Ganancia(dB)</i>	<i>Fase(°)</i>
10	-34,96	0,88
10^2	-34,86	8,786
10^3	-29,90	56,05
10^4	-24,77	-88,7
10^5	-42,84	-89,99

Se corresponde exactamente con la gráfica.